

不規則波力を受ける海中塔状構造物の応答に関する確率論的研究

大阪大学工学部 正員 小松 定夫
" " ○ 中山 隆弘

[1] まえがき 本研究は、不規則波力による海中構造物の応答を、確率論的手法を用いて定量的に算定することを目的とする。その基礎資料を得るために、今回、海中構造物の中でも、最も単純な形態を有する円形断面塔状構造物を対象とした模型実験を実施したのでその結果を報告し、併せて、若干の考察を試みる次第である。

[2] 模型実験概要 実験に使用した水槽は、不規則波発生装置を有する、長さ 30m、幅 70cm、高さ 95cm の鋼製 2 次元水槽である。

この水槽内に、図 1 に示すようなアクリライト製円管により製作した模型を、基部で完全に固定して設置し、表 1 に示す 6 種類の不規則波に対する振動実験を行なった。なお、本実験は、実物構造物を対象とした実験ではないので、相似則については、特別考慮していない。

また、表 1 では、不規則波の卓越周波数 f_w により、水面変動量 s_y の R.M.S. 値を S_y により、さらに、 $\frac{1}{2}$ 有義波高を $H_{\frac{1}{2}}$ により表わし、これらの値は、すべて約 3 分間の評価時間における値である。また、このときの水深 h は、すべて 58cm に統一した。測定には、容量式波高計を使用した。応答は、頂部変位・加速度、および、基部ひずみにより検出し、記録は、すべてデータレコーダーに収録した。応答特性には、模型の固有振動数 f_s 、および、減衰定数 β が大きな影響を与えるが、これらの値は、水中における自由振動記録によれば、それそれ 1.53Hz, 0.068 (いずれも、1 次モードに対する値) である。

[3] 実験結果、および 考察 紙面の都合上、こゝでは、頂部の波進行方向変位の変動特性についてのみ考察を進め、他は、講演時に説明する。

1) 同程度のパワーを有し、周波数特性の異なる RW1-3 やおよび RW2-3 に対する変位スペクトルを図 3 に示す。なお、図 2 は、このときの水面変動スペクトルである。RW2-3 は、 f_w が比較的 f_s に接近した不規則波であるが、この場合、 $S_{yy}(f)$ は、 f_s 附近にのみピークを示す。これに対し、RW1-3 のように、 f_w が f_s から離れると、 f_s 附近にと、もう 1 つの小さなピークが認められ、変位の R.M.S. 値 S_y も、RW2-3 の場合に比較してかなり小さくなっている。この傾向は、 f_w が f_s から離れるに従い強くなるとのと思われ、奥村・西岡¹⁾が理論的に示した結果と一致する。

2) 図 4 と図 5 は、それぞれ、RW2-3 における、波浪頻度分布とそれに応する変位頻度分布で、約 3 分間の測定記録を、0.167 秒間隔でサンプリングしたデータより得られ

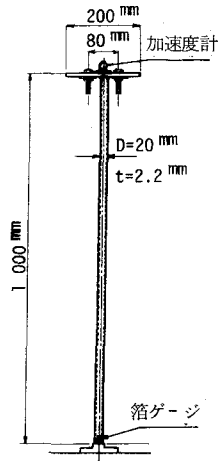


図 1 実験模型

表 1 不規則波の性状

No.	f_w (Hz)	S_y (cm)	$H_{\frac{1}{2}}$ (cm)
RW1-1	0.85	0.68	2.46
RW1-2	0.85	0.86	3.00
RW1-3	0.85	1.23	4.36
RW2-1	1.15	0.66	2.29
RW2-2	1.15	1.02	3.59
RW2-3	1.15	1.36	4.85

たものである。比較的傾向の似た分布形状を示しているが、これは今回の実験が、いわゆる慣性領域における実験であったためと考えられる。現在、これらがどの確率分布に最も適合するかを検討中であるので、他のデータの結果をも含め、詳細は講演時に譲る。

3) RW1-1からRW2-3の結果から変位のr.m.s.値 s_y を計算し、 $H_{1/3}$ と s_y との関係を表わしたのが図6である。これより、周波数特性が同一の場合、 s_y は $H_{1/3}$ に完全に比例するといえる。さらに、無次元量X、Y(記号については、図7を参照されたい。)により両者の関係を表わし、結果を図7に示した。XとYの間にはほぼ線型関係が認められ、Xが s_y を決定するパラメータとして適切であることが推察される。この結果の適用限界については現在検討中である。

4 あとがき

今回の実験は、当時、本学に在学中の瀧尾順一君の協力により実施されたものであり、同君に心からの謝意を表するものである。さ

うに、本研究

の機会を与えた本学教授樋木亨教授、ならびに同研究室の諸君に深謝の意を表する次第である。

参考文献1) 奥村・西園: 不規則な波浪による海中構造物の応答と外力の算定、第19回橋梁構造研究発表会論文集、昭47.

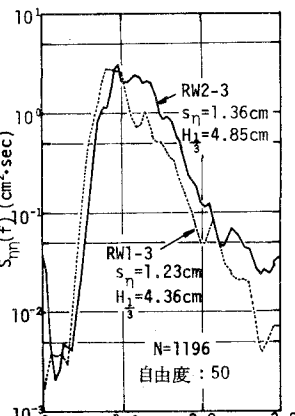


図2 波浪パワースペクトル

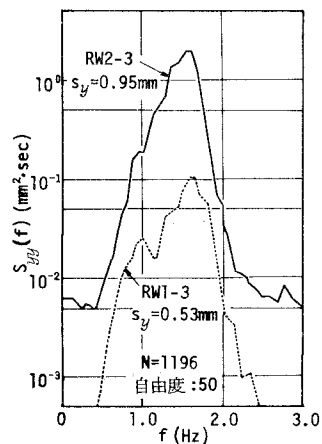


図3 変位パワースペクトル

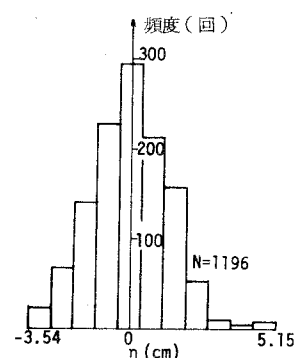


図4 波浪頻度分布

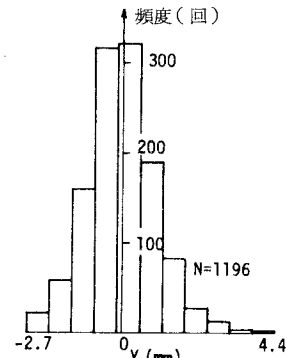


図5 変位頻度分布

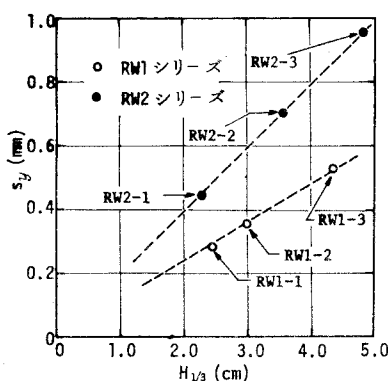


図6 変位のr.m.s.値

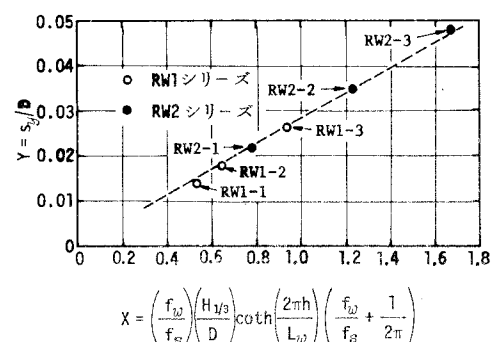


図7 無次元波高に対する変位のr.m.s.値